

MUX104

Synthèse d'image et réalité virtuelle

# Déformations

Pierre Cubaud  
cubaud @ cnam.fr

mars 2020

le **cnam**

## **Plan de la séance :**

- 1. Collisions**
- 2. Structures articulées**
- 3. Cinématique inverse (IK)**
- 4. Systèmes masse-ressort**

# **1. Collisions**

## 1.1 Détection de collisions

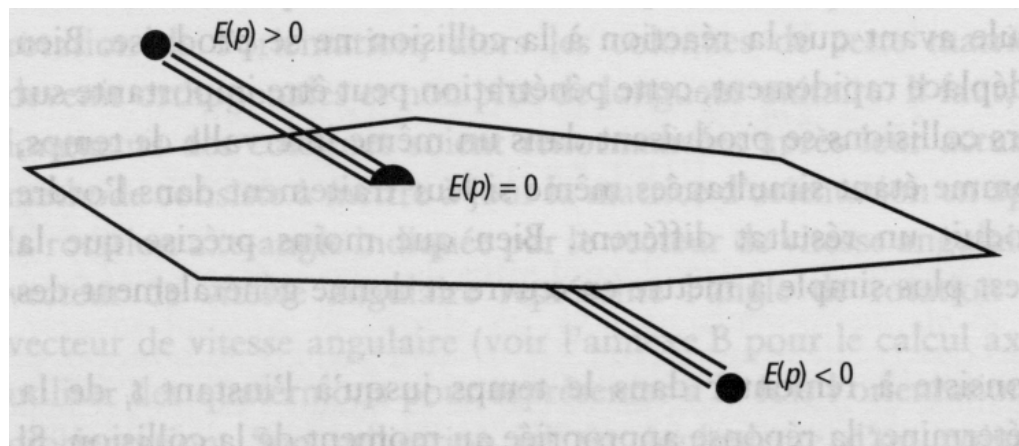
Exemple de la collision point-plan :

Equation du plan en 3D :  $Ax + By + Cz = D$

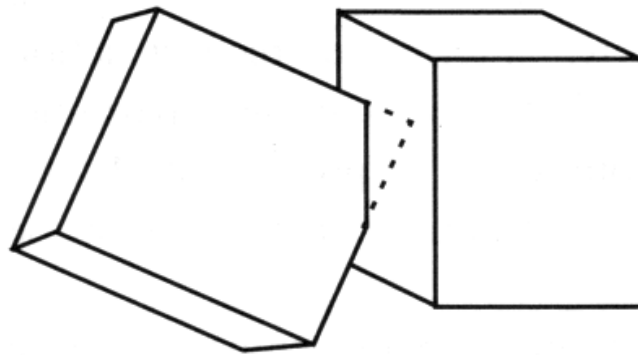
Connaissant 3 points non alignés du plan, on a :

$$\begin{pmatrix} A \\ B \\ C \end{pmatrix} = \overrightarrow{P_0P_1} \otimes \overrightarrow{P_0P_2} \quad \text{et} \quad D = A.P_{0x} + B.P_{0y} + C.P_{0z}$$

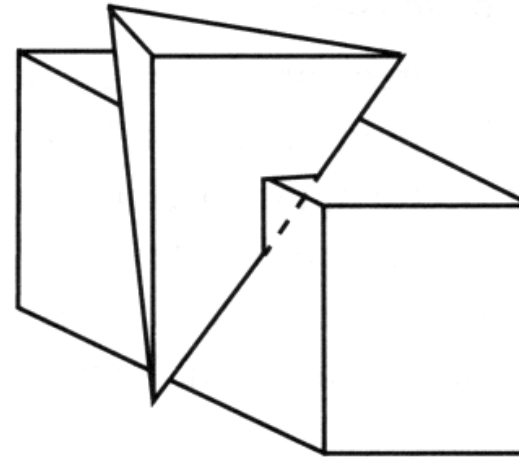
on étudie le signe de  $APx + BPy + CPz - D$  :



## Test sur des polyèdres



Sommet à l'intérieur d'un polyèdre



Pénétration d'un objet sans qu'un sommet d'un objet soit contenu dans l'autre objet

Figure 4.36 **Détection d'intersections de polyèdres** [PAR]

intersections droite / polygone : coûteux

=> voir cours « élimination parties cachées »

## Optimisation par sphères englobantes

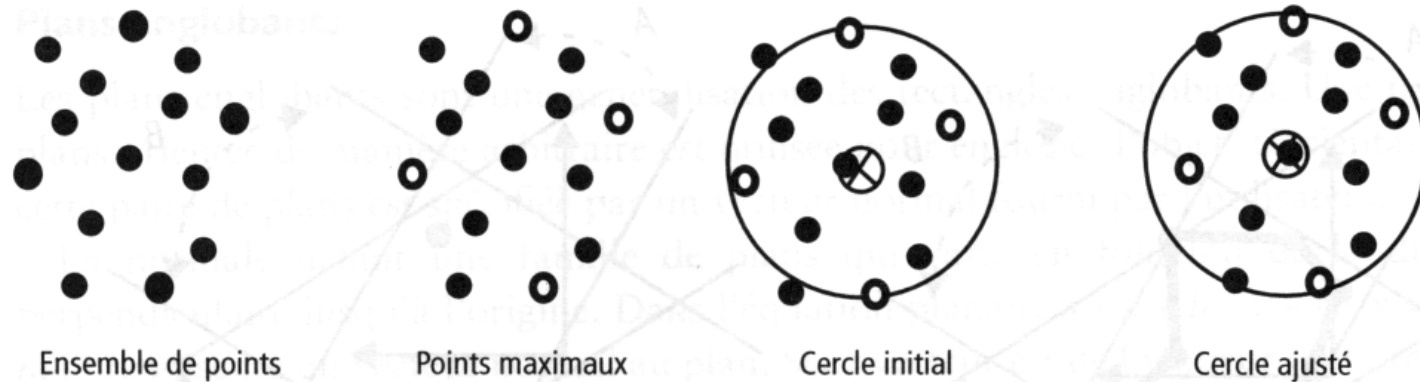
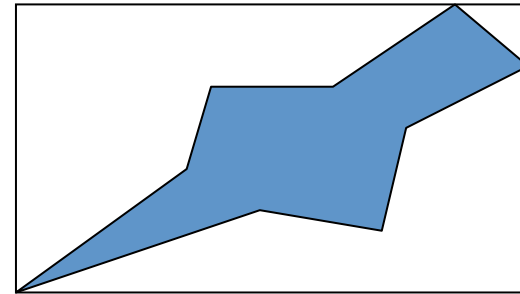


Figure B.20 Calcul d'un cercle englobant pour un ensemble de points [PAR]

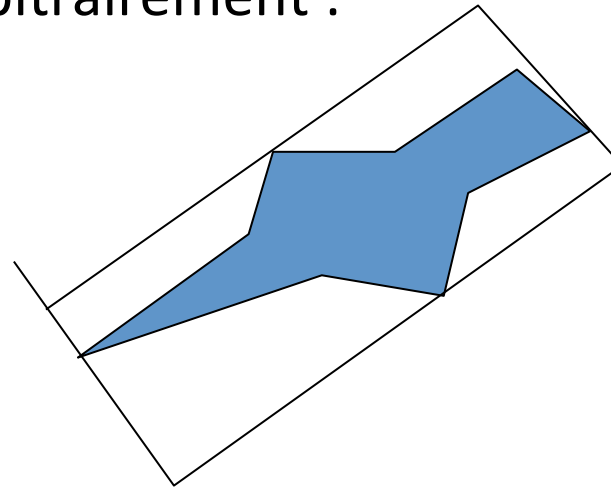
- recherche des 6 valeurs extremes  $X_{min}$ ,  $Y_{min}$ ,  $Z_{min}$ ,  $X_{max}$ , etc...  
et des 6 points concernés  $iX_{min}$ ,  $iY_{min}$ ,  $iZ_{min}$ , etc...
- trouver la paire de points la plus éloignée des 3 paires : P1, P2
- le centre de la sphère est  $C = (P1+P2)/2$   
son diamètre est la plus grande distance  $D_{max}$
- passer en revue tous les points P et ajuster la sphère si  $PC > D_{max}$

## Autres techniques de volumes englobants

- boîte englobante alignée dans l'axe :  
ABB : axis-aligned bounded box



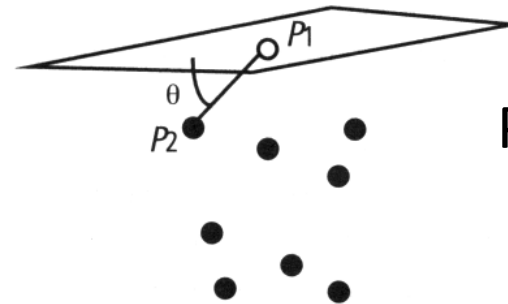
- boîte englobante orientée arbitrairement :  
OBB : oriented bounded box



# Construction de l'enveloppe convexe (ex. de solution)



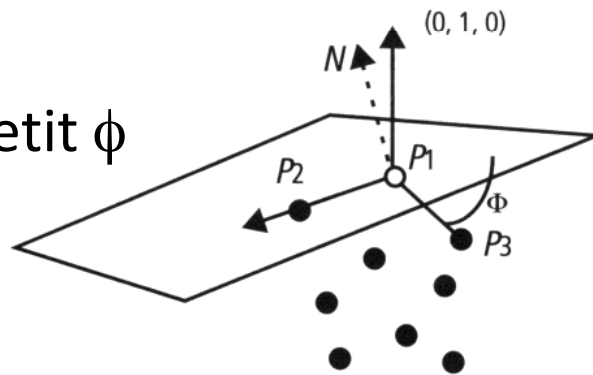
Étape 1 : Trouver le point le plus élevé



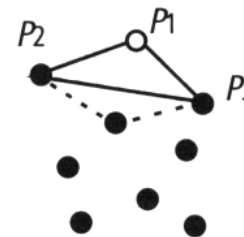
P2: plus petit  $\theta$

Étape 2 : Trouver une arête de l'enveloppe convexe

P3: plus petit  $\phi$



Étape 3 : Trouver un triangle initial



Étape 4 : Construire chaque triangle de l'enveloppe convexe en utilisant une ou deux arêtes existantes de triangles d'enveloppe convexe tracés antérieurement

algo. complet dans [PAR] p. 445

## 1.2 Réaction à la collision

On peut réagir aux collisions trop tard :

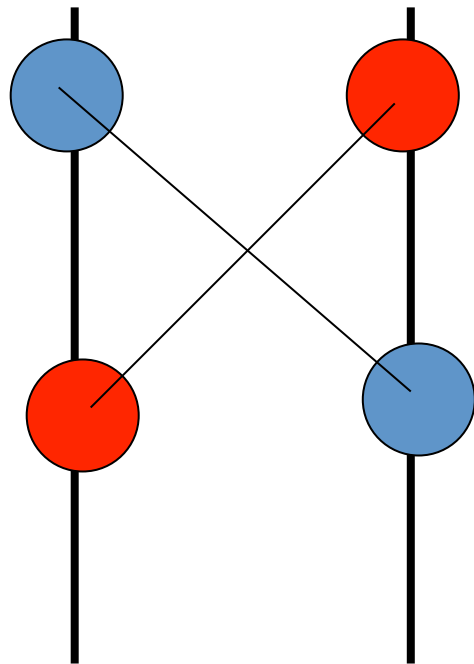


image #n  
date T

#n+1  
date T+dt

FAUX

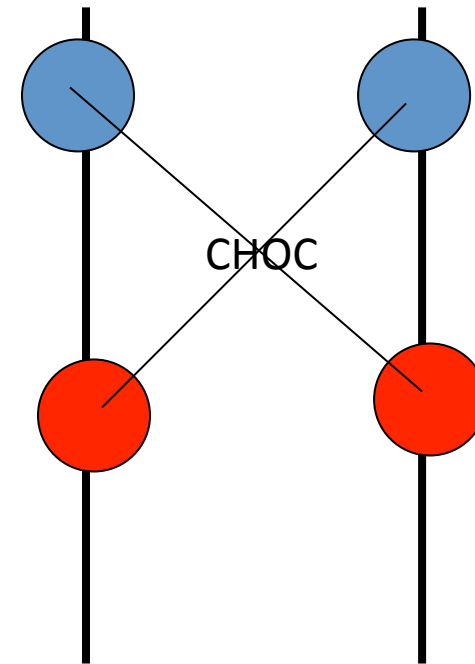


image #n  
date T

#n+1  
date T+dt

VRAI

## Méthode par calcul de la force d'impulsion

1- remonter le temps au point d'impact

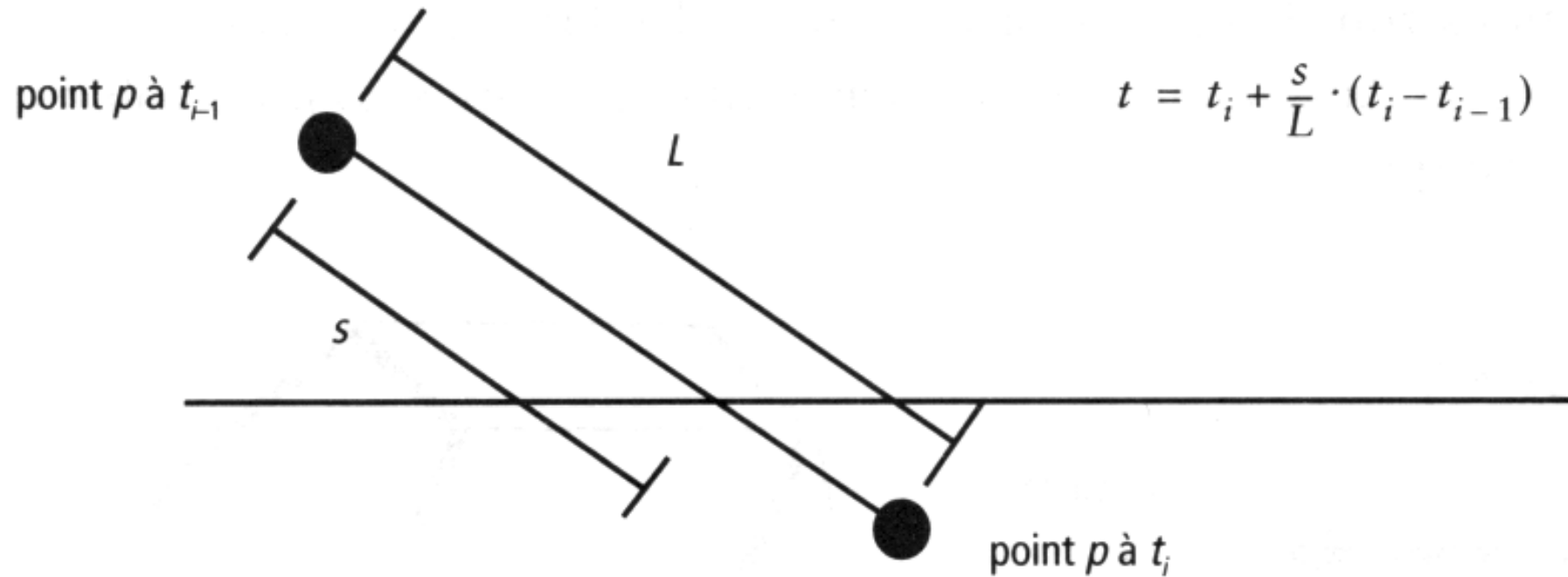
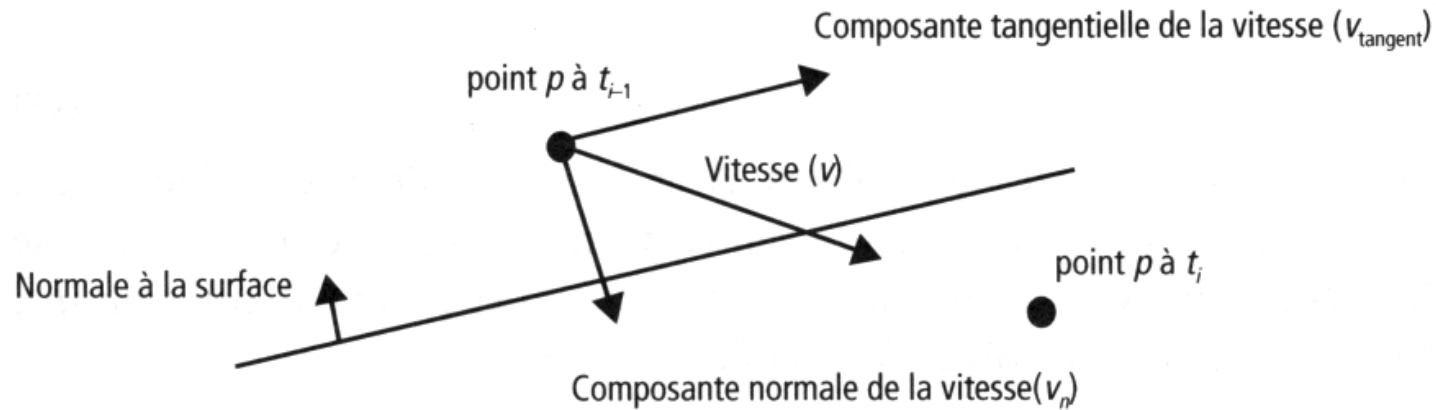


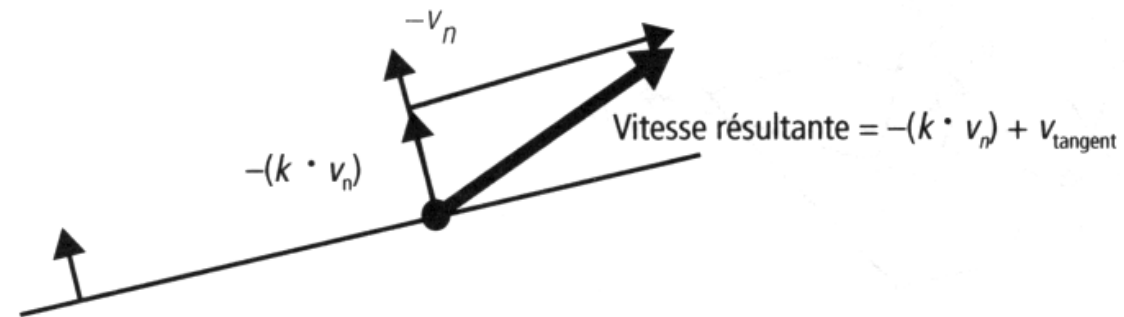
Figure 4.38 Estimation linéaire de l'instant d'impact,  $t$

[PAR]

## 2- calculer les conséquences de l'impact



Composantes de la vitesse d'une particule entrant en collision avec un plan



Calcul de la vitesse résultant d'une collision ( $k$  est le coefficient de restitution)

Figure 4.39 Réponse à l'impact entre un point et un plan

[PAR]

# Un état de l'art sur les logiciels de détection de collision

Tangi.Meyer@irisa.fr  
Guillermo.Andrade@irisa.fr

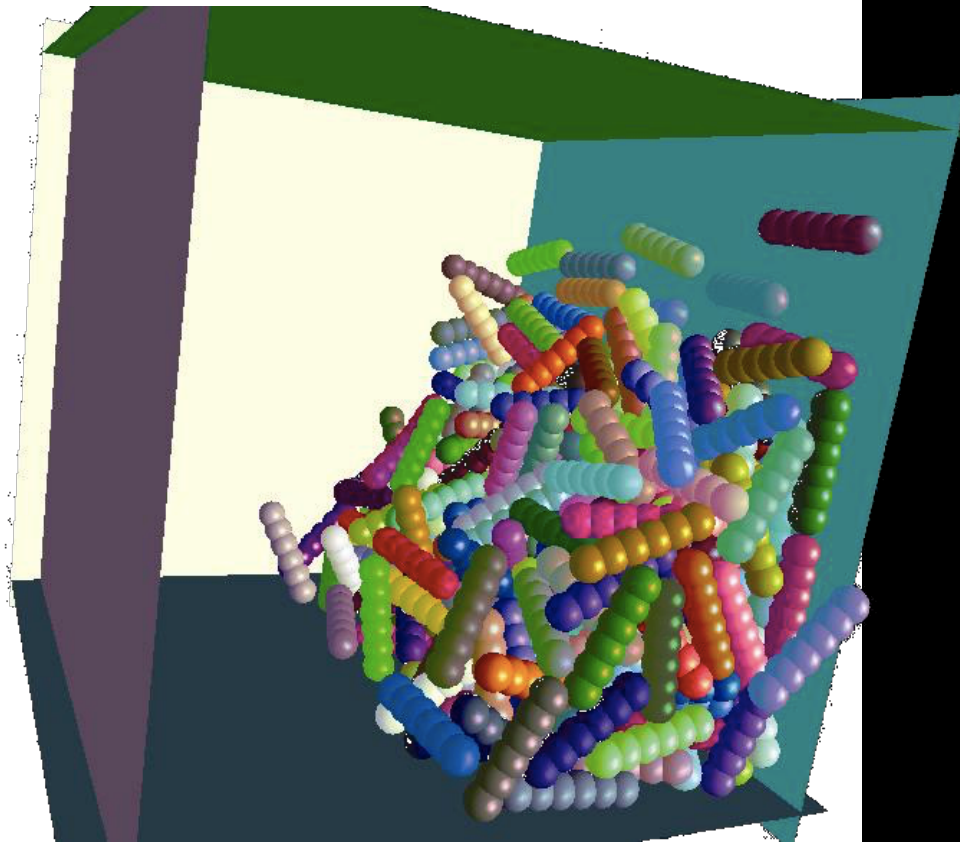
Présenté par Jean-Marie Souffez



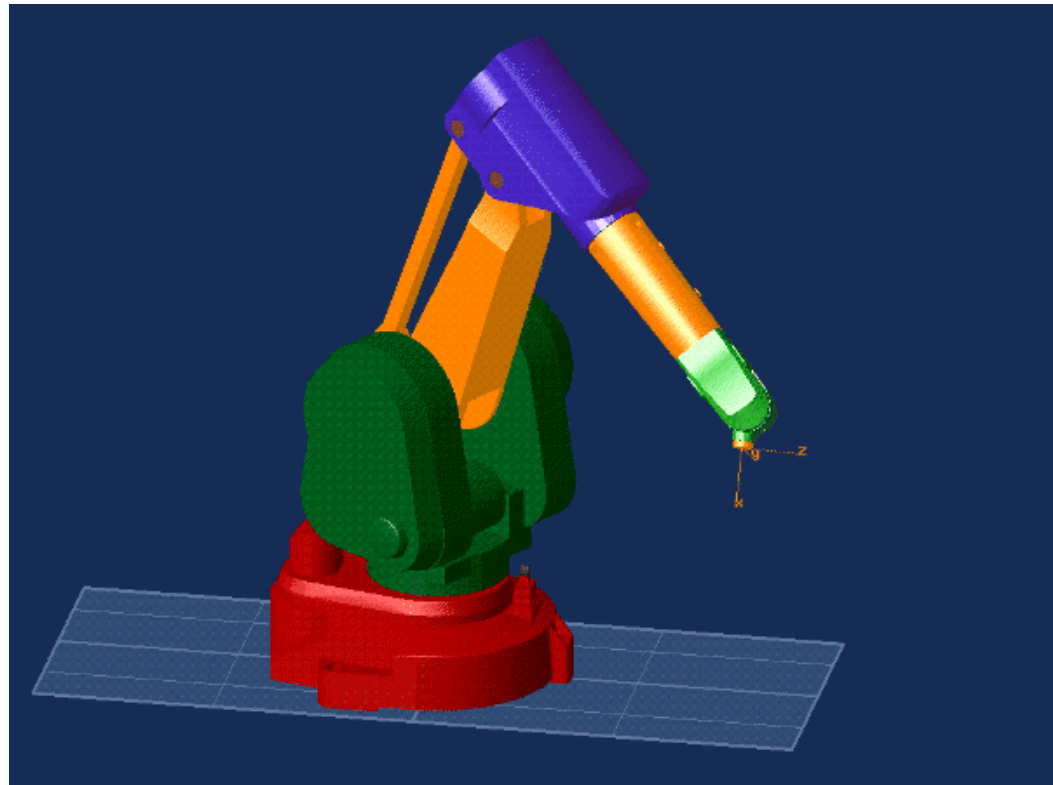
<b>Outils</b>	<b>Méthodes</b>	<b>Entrées</b>	<b>Sorties</b>	<b>Principes</b>
RAPID	OBB-Trees	Soupe de Polygones	Détection / paires intersectantes	2Body
VCollide	Surcouche de Rapid	Soupe de Polygones	Détection / paires intersectantes	Nbody - Cohérence temporelle
ICollide	Diagramme de Voronoi	Polyèdres convexes	Distance / paires	Nbody - Cohérence temporelle
Solid	ABBTrees	Soupe de Polygones	Point de contact	Nbody - Cohérence temporelle
Quick_CD	K-Dops trees	Soupe de Polygones	Collision entre triangles	2Body
Swift	Voronoi+Multilevel model	Polyèdres convexes	Distance avant collision	Nbody - Cohérence temporelle
V-Clip	Voronoi	Polyèdres convexes	Distance avant collision	NBody
VPS	Voxel+ Intersections géo.	Nuage de points	Pénétrations points-voxels	2Body
Hcollide	Spatial décomp.+OBBTrees	Polyèdres	Pénétrations points-surfaces	Cohérence Temporelle
Contact	OBB-Trees	Soupe de Polygones	Point de contact	2Body - détection continue
ColDet	OBB-Trees	Soupe de Polygones	Collision exacte	2Body

A consulter : présentation de O. GALIZZI (IMAG/iMAGIS)

« Animation de solides en contact par modèle physique »



## **2. Structures articulées**



A LIRE : cours de robotique de J. Gangloff (DEA Strasbourg)  
<http://eavr.u-strasbg.fr/library/teaching/robotics/>

## 2.1. Description

voir « techniques de l'ingénieur »

### Mécanique générale

### Cinématique générale

par **Jean-Pierre BROSSARD**

*Professeur de Mécanique à l'Institut National des Sciences Appliquées (INSA) de Lyon*

## 3.6 Degré de liberté

C'est une question qui n'a pas de réponse unique car les points de vue peuvent être différents et, de toute façon, ce n'est pas au fond une question d'une grande utilité pratique en cinématique et en mécanique générale comme nous le montrerons.

Le problème se formule ainsi : soit un système à  $n$  paramètres  $q_1, \dots, q_1, \dots, q_n$  et supposons qu'il y ait  $m$  relations de liaison indépendantes.

On appelle degré de liberté le nombre  $k$  :

$$k = n - m$$

Que peut-on dire de ce nombre  $k$  ? Pas grand-chose avec sûreté sans une étude approfondie.

## Les différents types de liaisons

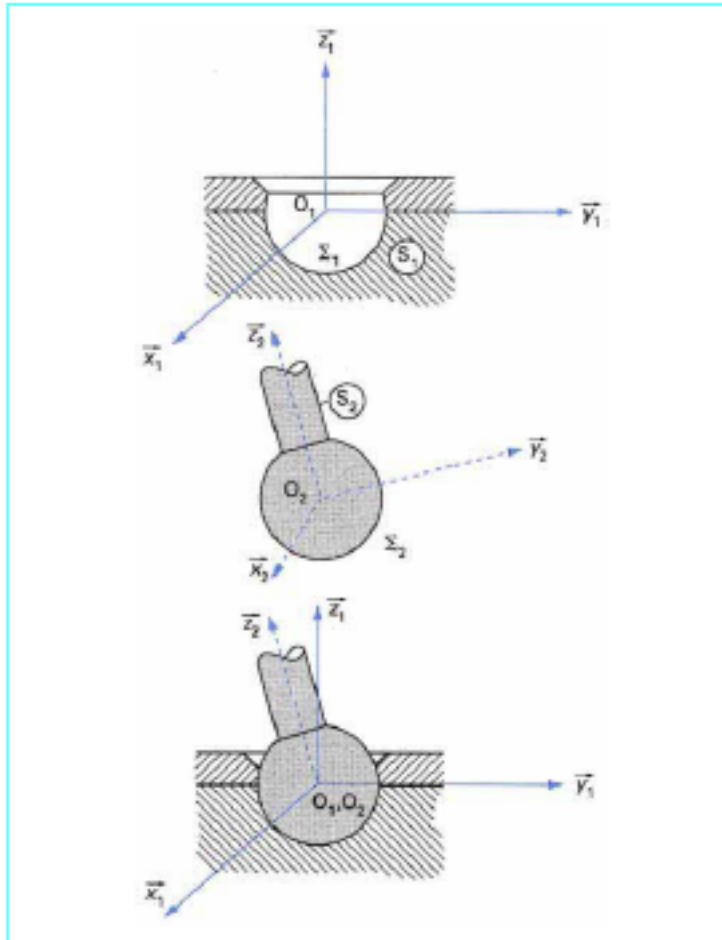


Figure 65 - Liaison sphérique

$k=3$  (rotations)

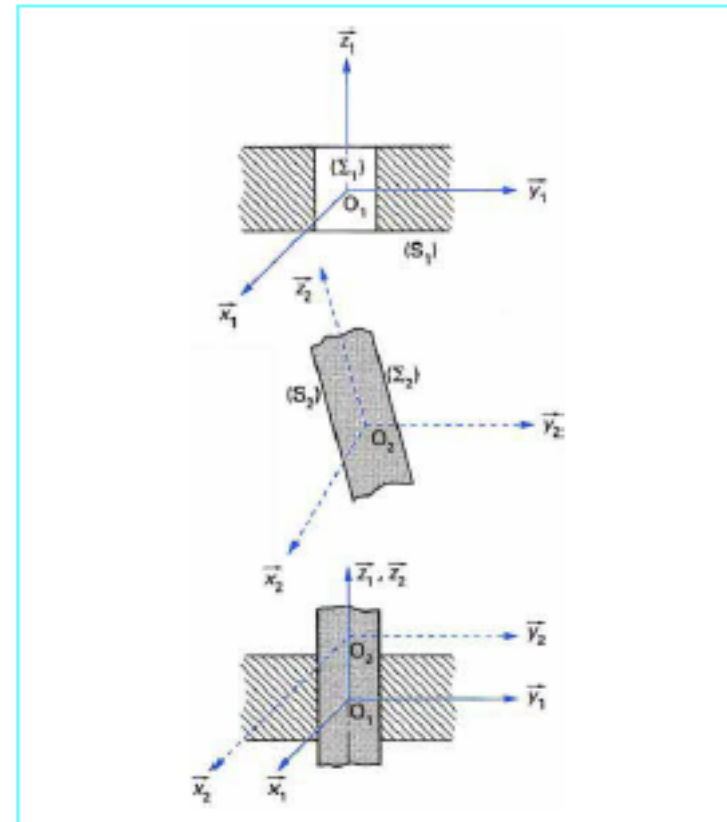


Figure 69 - Liaison cylindrique

$k=2$  (translation ou rotation)

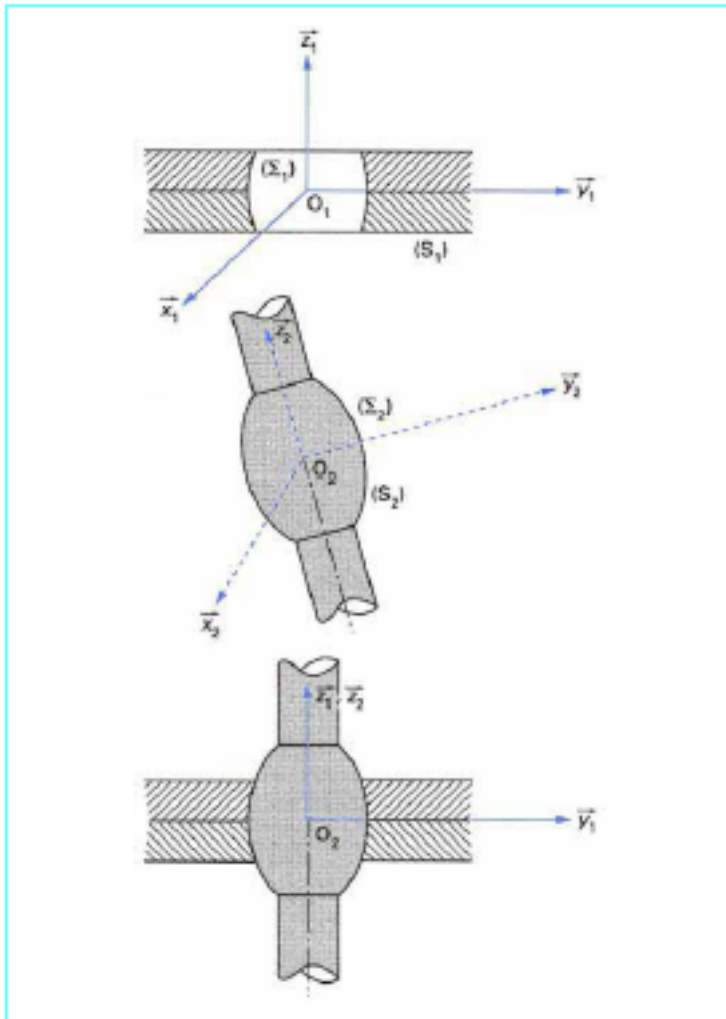


Figure 72 - Liaison rotoïde

$k=1$  (rotation)

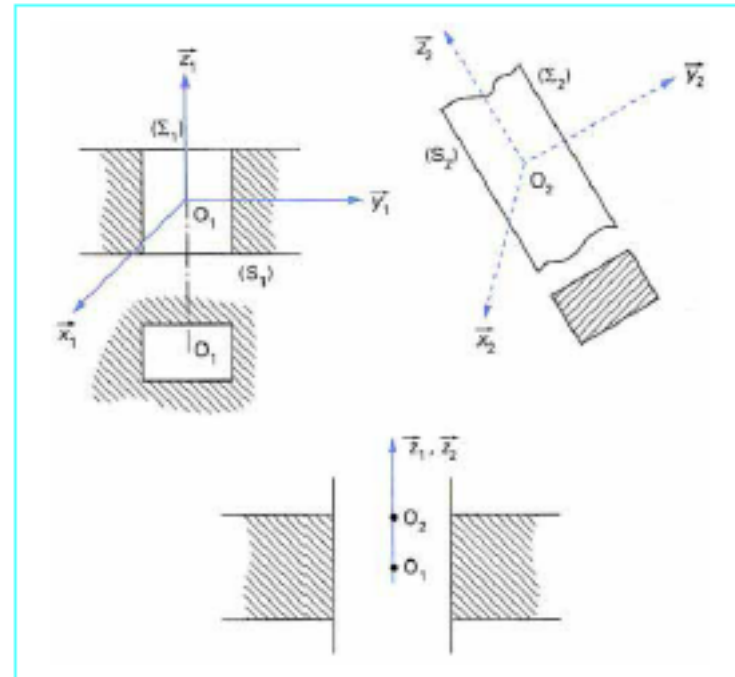


Figure 75 - Liaison prismatique

$k=1$  (translation)

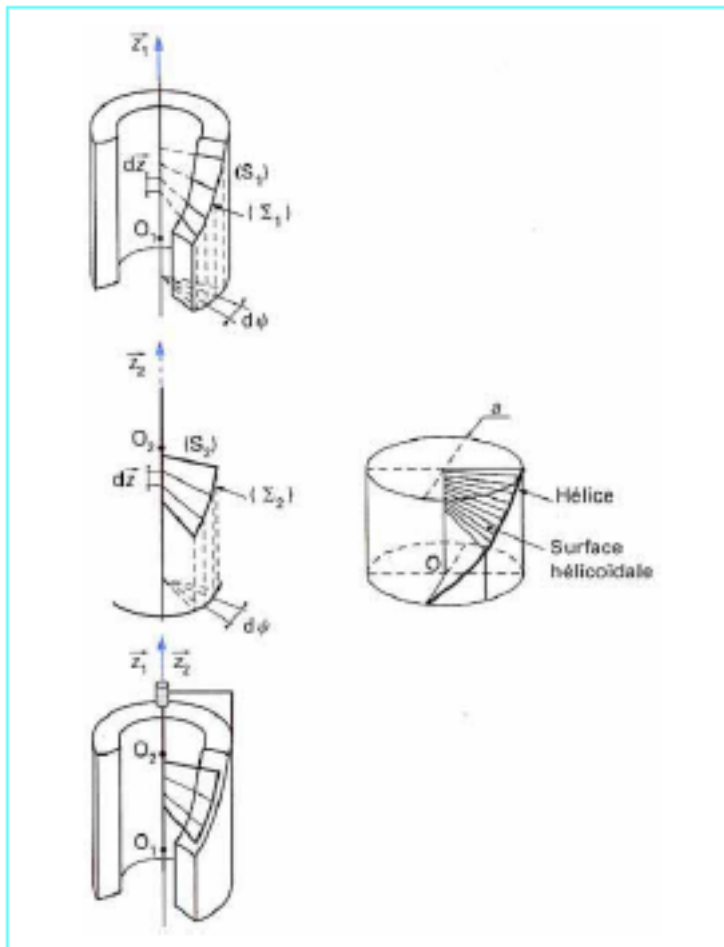


Figure 79 - Liaison hélicoïdale

$k=1$  (rotation ET translation)

### 3.7.7 Examen du degré de liberté d'un système

De nombreux auteurs ont essayé de déterminer le degré de liberté d'un mécanisme par simple décompte des liaisons et du nombre d'équations de liaison que chacune d'elles implique. Malheureusement, ces méthodes n'ont aucune sûreté. Elles n'arrivent en général qu'à prévoir des résultats... connus. Seules les méthodes basées sur les équations de liaison et la détermination de leur indépendance ont une valeur sûre.

#### 3.7.7.1 La méthode ne permet pas de prévoir les degrés de liberté

**Exemple 1** (figure 82a) : comme indiqué sur la figure, c'est un système plan à 4 barres. Nous avons vu que, pour chaque solide en mouvement plan, il fallait trois paramètres. Il n'y a que 4 liaisons rotatives ; chaque liaison rotative impose deux relations (un point fixe dans le plan). Le degré de liberté est donc  $k = 3 \times 3 - (4 \times 2) = 1$ , ce qui est bien conforme à ce que l'on trouverait par un examen détaillé des équations de liaison du système.

**Exemple 2** (figure 82b) :

$$k = 4 \times 3 - 6 \times 2 = 0$$

Le système est bloqué, ce qui est bien conforme à ce que donnerait une étude détaillée.

**Exemple 3** (figure 83) : il y a le même nombre de liaisons que dans l'exemple précédent. Il est aisé de voir que cette fois le degré de liberté est 1.

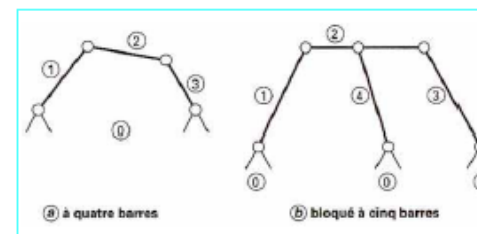


Figure 82 - Systèmes plans

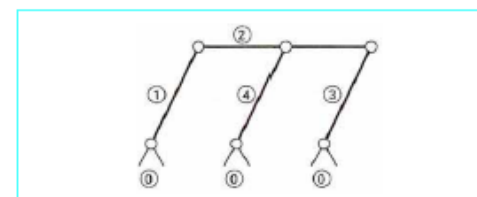


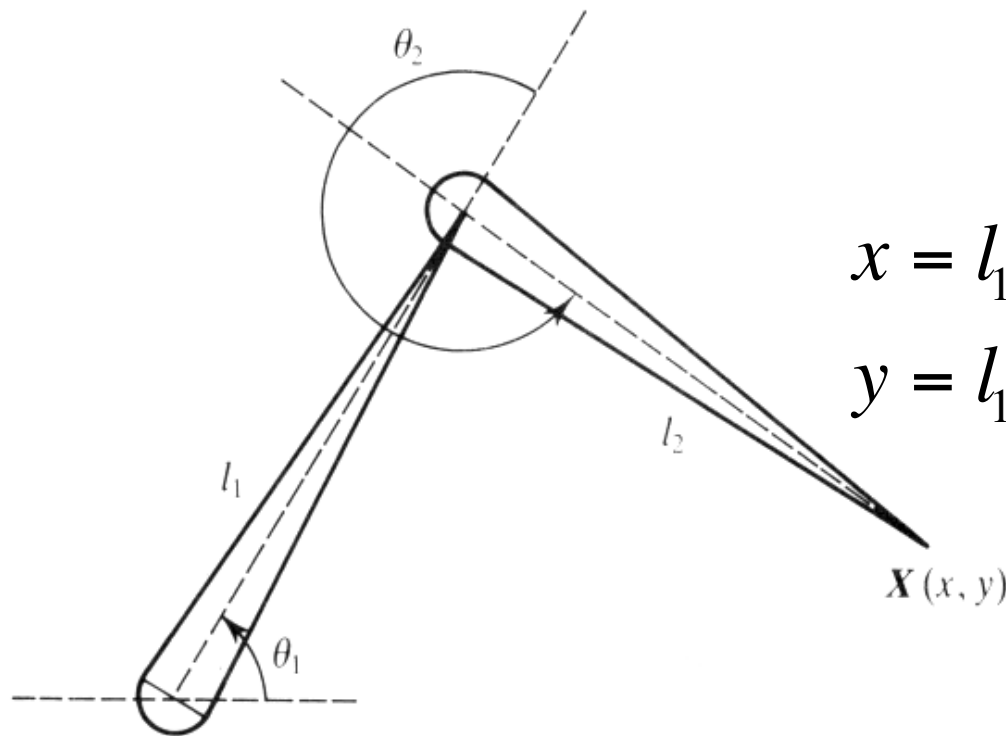
Figure 83 - Système plan à cinq barres, totalement mobile

## 2.2 Cinématique directe

$$\vec{X} = f(\vec{\theta}) = f(\theta_1, \theta_2, \dots, \theta_N)$$

$$\theta_i = (x, y, z, \mu, \phi, \Phi)$$

Exemple d'un bras manipulateur plan :



$$x = l_1 \cos \theta_1 + l_2 \cos(\theta_1 + \theta_2)$$

$$y = l_1 \sin \theta_1 + l_2 \sin(\theta_1 + \theta_2)$$

Figure 16.2 A simple two-link structure. [WATT]



## Notation DH (Denavit-Hartenberg, 1955)

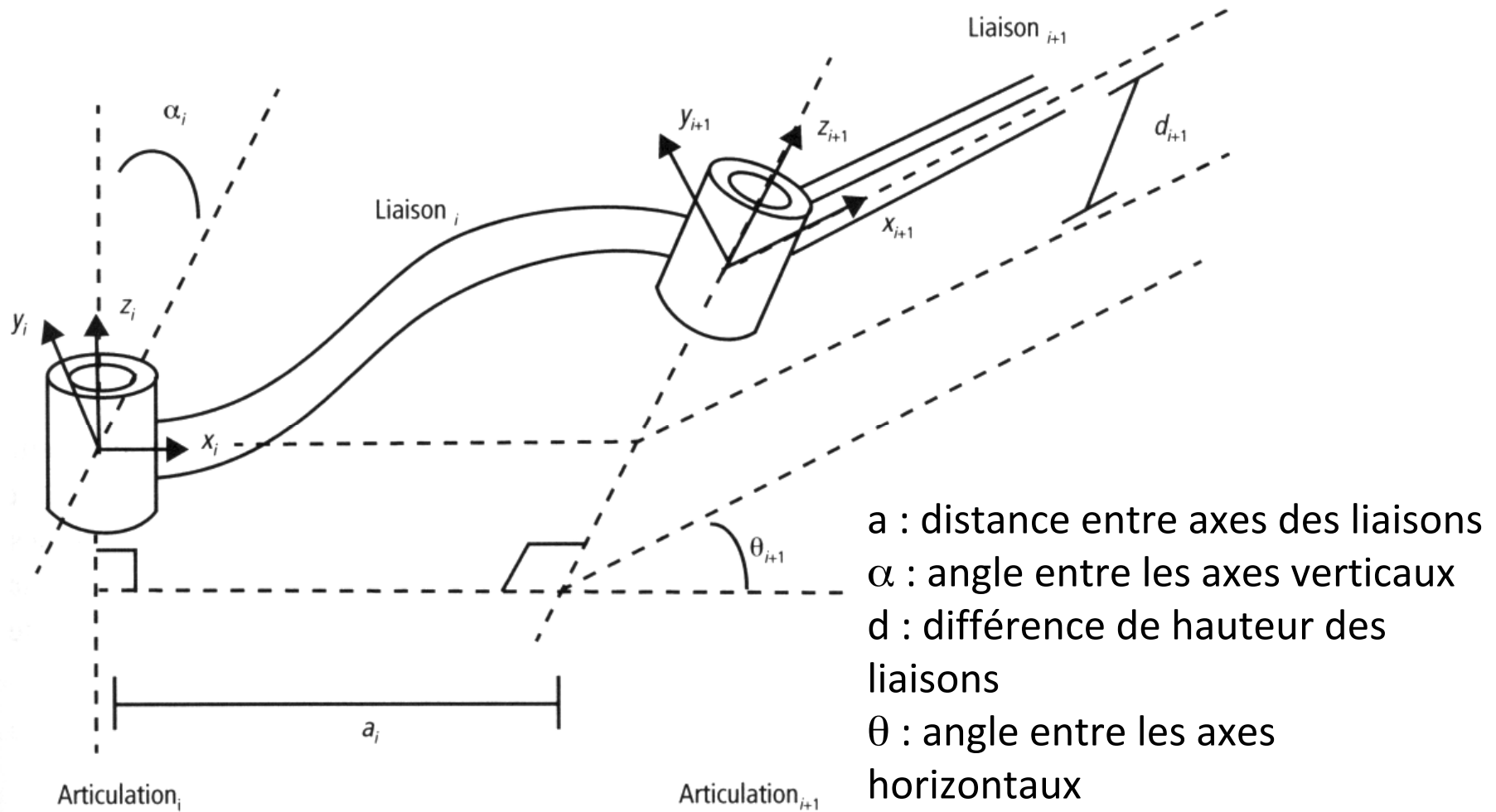


Figure 4.12 Paramètres de Denavit-Hartenberg

[PAR]

Calcul des coordonnées de la liaison L(i) dans le repère de L(i-1) :

$$M = T_x(a) \cdot R_x(\alpha) \cdot T_z(d) \cdot R_z(\theta)$$

$$M = \begin{pmatrix} \cos \theta & \sin \theta \cos \alpha & \sin \theta \sin \alpha & 0 \\ -\sin \theta & \cos \theta \cos \alpha & \cos \theta \sin \alpha & 0 \\ 0 & -\sin \alpha & \cos \alpha & 0 \\ a & -d \sin \alpha & d \cos \alpha & 1 \end{pmatrix}$$

Calcul des coordonnées de la liaison L(i) dans le repère de la base :

$$M = M(0,1) \cdot M(1,2) \cdot \dots \cdot M(i-1,i)$$

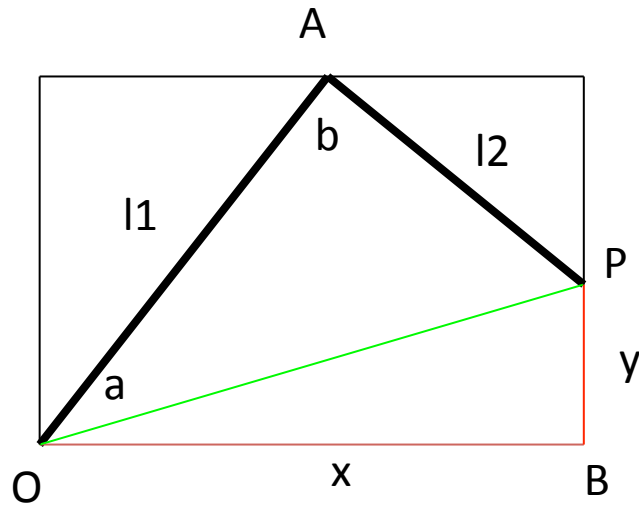
# **3. Cinématique inverse**

Problème inverse !

$$\vec{\theta} = f^{-1}(\vec{X})$$

Reprise de l'exemple :

- recherche angle  $\langle BOP \rangle = \theta_T$
- recherche angle  $\langle POA \rangle = \theta_1 - \theta_T = a$
- recherche angle  $\langle OAP \rangle = \pi - \theta_2 = b$



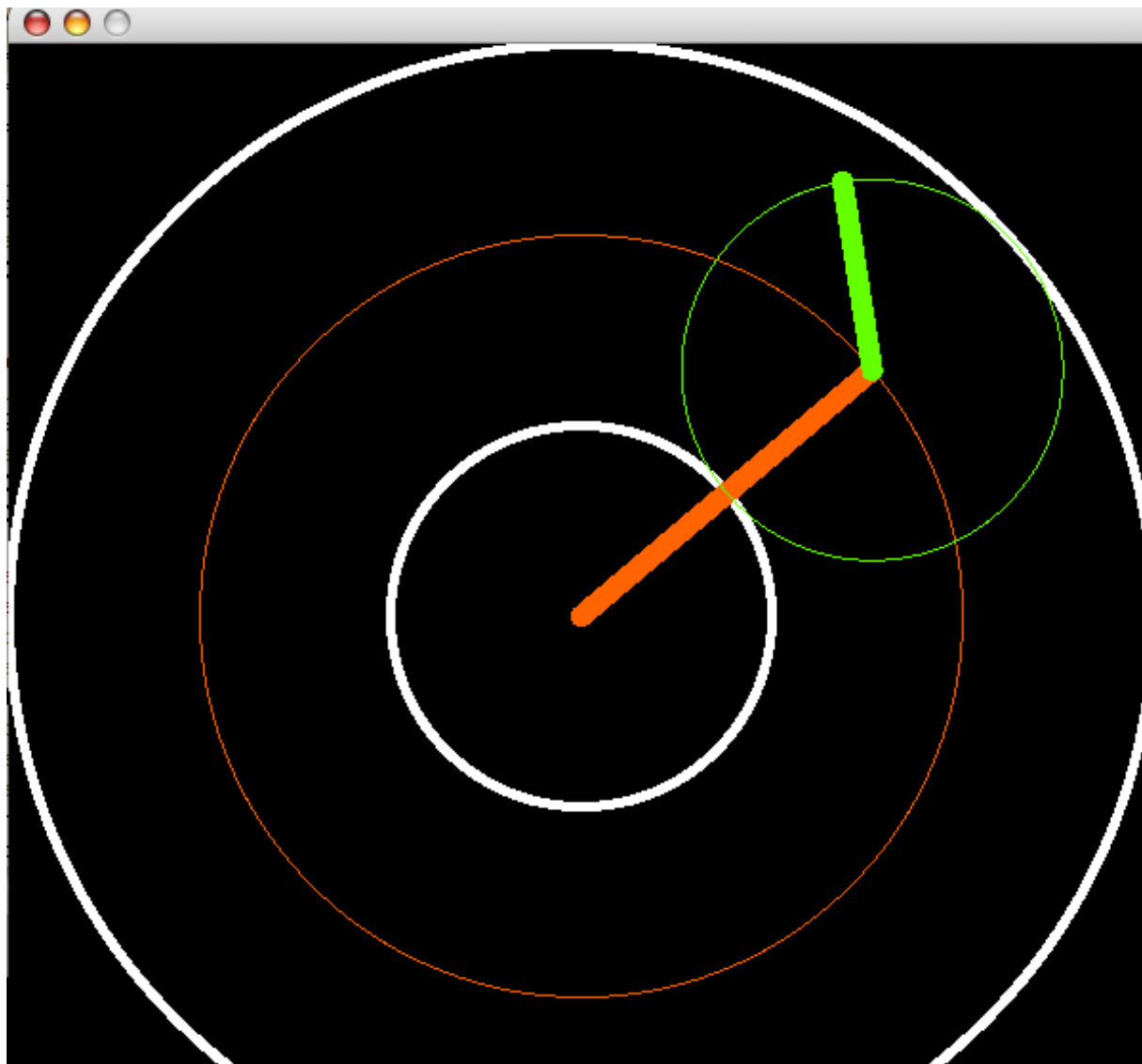
$$\operatorname{tg} \theta_T = BP/OB = y/x \Rightarrow \theta_T$$

$$\cos a = \frac{OP^2 + OA^2 - AP^2}{2|OP||OA|} = \frac{d^2 + l_1^2 - l_2^2}{2dl_1} \Rightarrow \theta_1$$

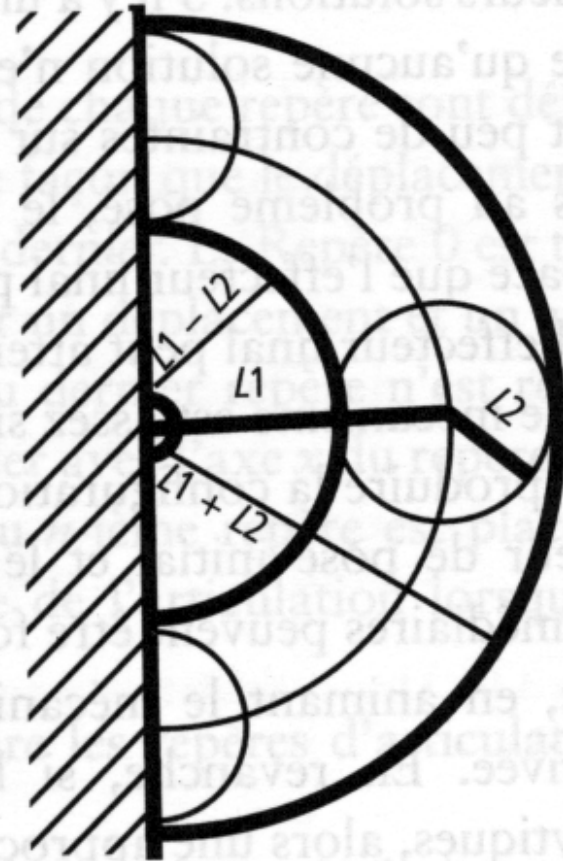
$$\cos b = \frac{AP^2 + AO^2 - OP^2}{2|AP||AO|} = \frac{l_2^2 + l_1^2 - d^2}{2l_1l_2} \Rightarrow \theta_2$$

$$\text{avec } d^2 = x^2 + y^2$$

## Réalisation avec Processing : cineminverse



Problèmes :



Espace de travail atteignable

[PAR]

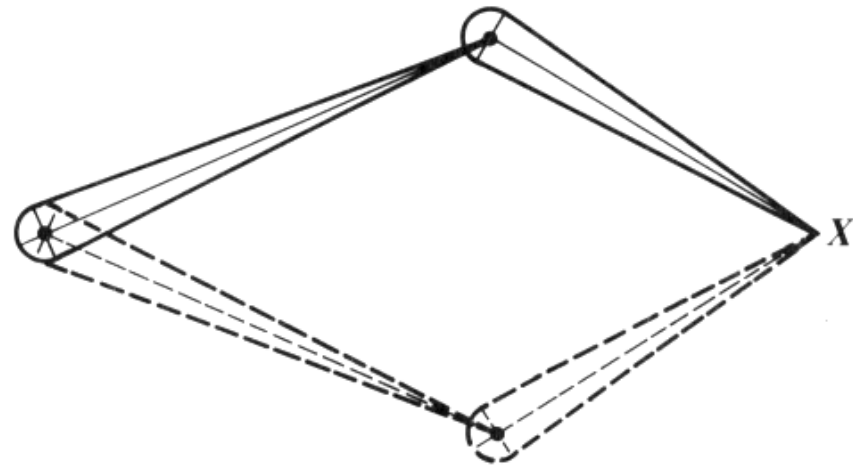
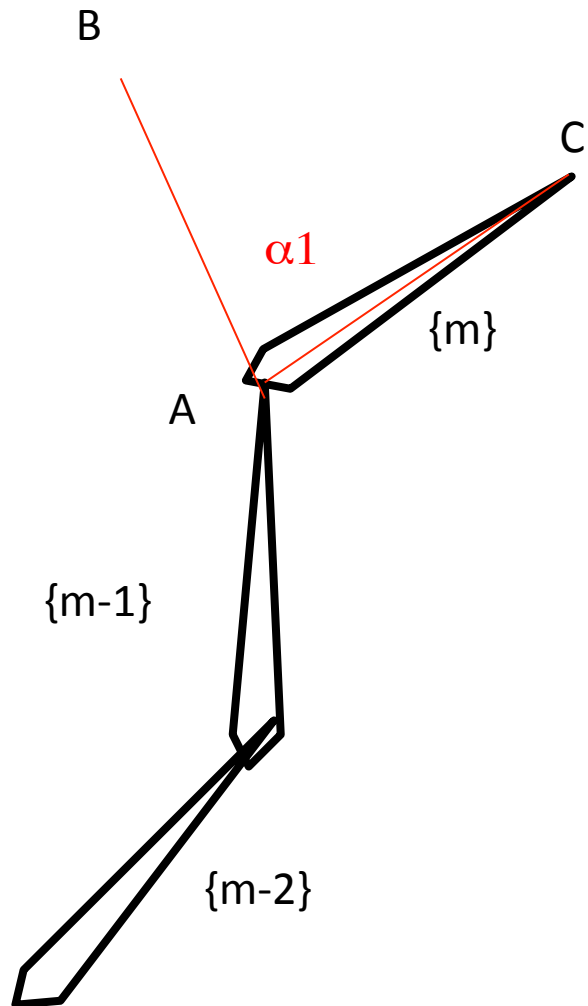


Figure 16.3 Two solutions for a two-link mechanism to position the end effector at  $X$ .

[WATT]

# Une heuristique : méthode CCD (Cyclic Coordinate Descent)

Chris Welman. *Inverse Kinematics and Geometric Constraints for Articulated Figure Manipulation*.  
<http://fas.sfu.ca/pub/cs/theses/1993/ChrisWelmanMSc.ps.gz> B.Sc, SFU, 1989

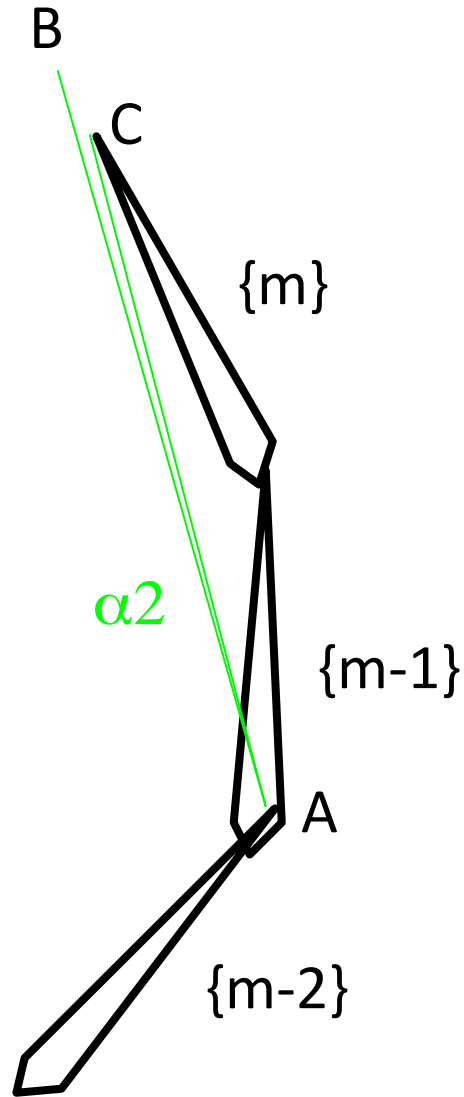


Etape 1 : approcher l'effecteur (en C) du but (en B) en calculant l'angle  $\alpha_1 = \langle CAB \rangle$

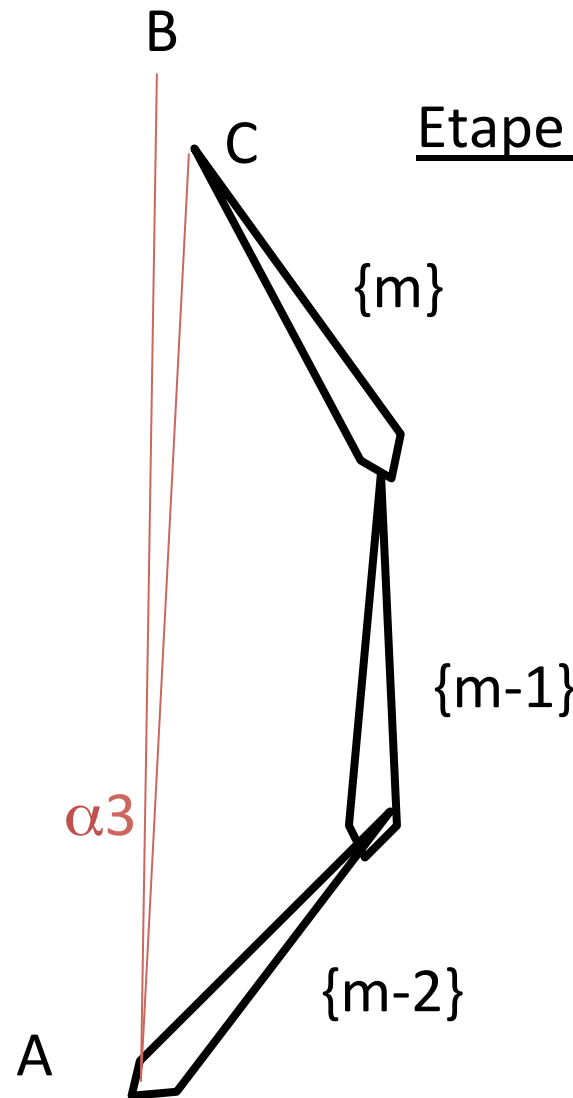
-calcul de l'angle par le produit scalaire de AC par AB

-calcul du sens de rotation par le produit vectoriel de AC et AB (signe de la composante en z)

Etape 2 : approcher le bras  $\{m-1\}$   
de B en calculant l'angle  $\alpha_2 = \langle CAB \rangle$

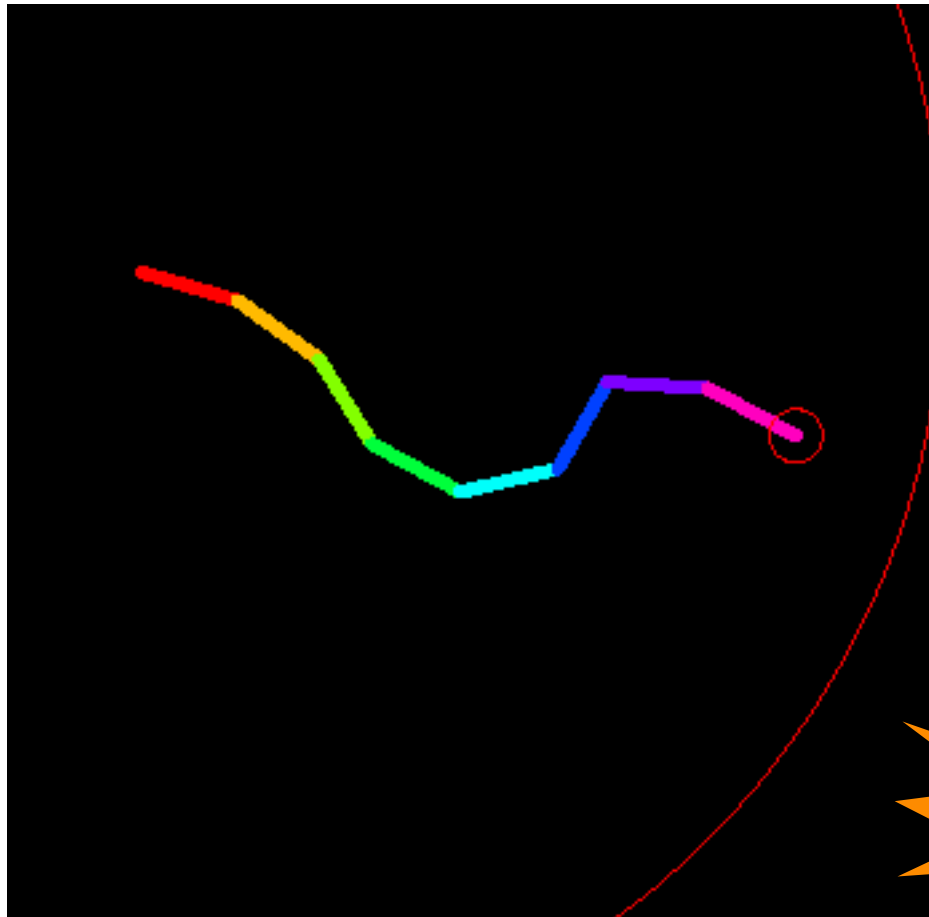


Etape 3 : idem avec  $\{m-2\}$



etc...  
on s'arrête si  
 $|BC| < \text{seuil}$

## Réalisation avec Processing : ccdV2



Exemple d'utilisation: le « politicien » de Ken Perlin



<http://mrl.nyu.edu/~perlin/experiments/fiend/>

# Allez voir le site de K. Perlin (NYU) !



## Ken Perlin

Professor of [Computer Science](#)  
[NYU Future Reality Lab](#)

80 Fifth Ave, 3rd floor,  
NY, NY 10003

Member of [MAGNET](#)

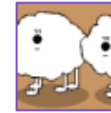
**email:** last name at cs dot nyu dot edu

**start-ups:** [tactonic](#) [holojam](#)

[parallax](#)

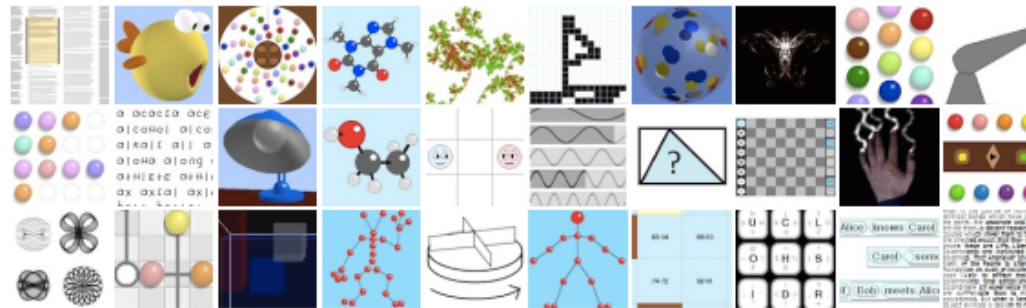
**blog:** [blog.kenperlin.com](#)

[vita.bio](#), [courses](#), [alligators](#)



*"Que não seja imortal, posto que é chama. Mas que seja infinito enquanto dure..."*

## SOME TOYS FROM THE BLOG:



## OTHER EXPERIMENTS:

If the Java applets below don't run, try this:

1. Download the latest Java runtime by [clicking here](#);
2. Add this site as a "trusted site" to your computer by [following these instructions](#).



<https://mrl.nyu.edu/~perlin/>

# **4. Systèmes masse-ressort**

(wikipedia)

## Loi de Hooke pour les ressorts [\[ modifier | modifier le code \]](#)

Le mode de déformation le plus simple est la traction (étirement) ou la compression selon un axe. Pour de petites déformations, la variation de longueur  $\Delta \ell$  est proportionnelle à la force de traction/compression  $F$  :

$$\Delta \ell \propto F$$

que l'on écrit plus volontiers :

$$F = -k \Delta \ell$$

où  $k$  est la **raideur** de la pièce, aussi appelée constante de rappel. C'est en fait la **loi des ressorts**. Ici, le signe négatif signifie que la force s'oppose donc à toute déformation, et est donc de sens opposé à la déformation du ressort.

## Équation du mouvement d'une particule soumise à la force de Hooke en une dimension [\[ modifier | modifier le code \]](#)

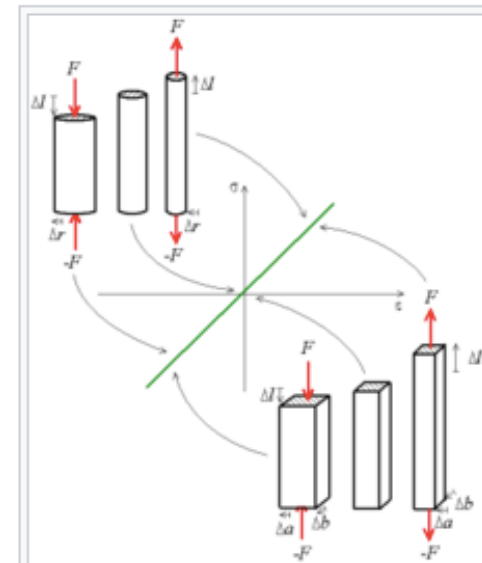
L'équation différentielle qui traduit l'action de la force de Hooke sur la particule peut s'écrire :

$$m\ddot{x} = -kx$$

où  $m$  est la masse de la particule,  $x$  est la position de la particule par rapport à son point d'équilibre (i.e. le point où il n'y a pas de force qui s'exerce sur la particule) et  $\ddot{x}$  est l'accélération de la particule. Une solution de cette équation peut s'écrire :

$$x = A \cos(\omega t + \delta)$$

où  $A$  et  $\delta$  sont des paramètres déterminés par les conditions initiales du système et représentent l'amplitude du mouvement et une phase sur l'oscillation, respectivement. Ici,  $\omega$  est la fréquence angulaire et vaut  $\sqrt{\frac{k}{m}}$  et n'est donc dictée que par les caractéristiques du système.



Cylindre soumis à de la traction/compression

Dans tout système réel, une partie de l'énergie totale est dissipée, le plus souvent en chaleur, ce qui crée une **force** d'amortissement.

En mécanique, celle-ci dépend de la **vitesse** du **corps**. Dans de nombreux cas, on peut supposer que le système est linéaire, l'amortissement étant alors proportionnel à la vitesse (voir [Système oscillant à un degré de liberté](#)).

En électricité, l'amortissement désigne l'effet **résistif** d'un circuit RLC.

On définit le coefficient d'amortissement  $c$  par :

$$\mathbf{F} = -c\mathbf{v}.$$

## Exemple : Masse-Ressort-Amortisseur [\[ modifier | modifier le code \]](#)

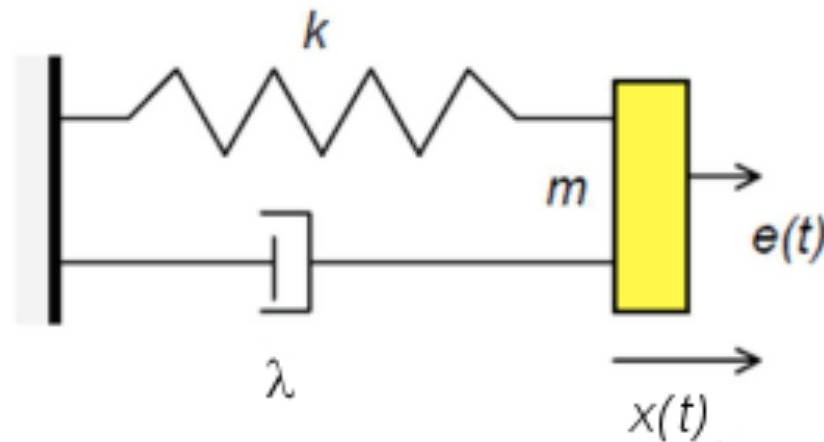
Étudions un système idéal Masse-Ressort-Amortisseur, avec une **masse**  $m$  fixée (dans le sens où le corps garde la même masse tout au long de l'étude), une constante de **raideur**  $k$ , et un coefficient d'amortissement  $c$  :

$$\mathbf{F}_r = -k\mathbf{x}$$

$$\mathbf{F}_a = -c\frac{d\mathbf{x}}{dt}.$$

La masse est un corps libre. On suppose le repère inertiel, donc le premier **vecteur** est parallèle au ressort et à l'amortisseur. D'après la [conservation de la quantité de mouvement](#) :

$$\mathbf{F}_r + \mathbf{F}_a = m\frac{d^2\mathbf{x}}{dt^2}$$
$$-kx - c\frac{dx}{dt} = m\frac{d^2x}{dt^2}.$$

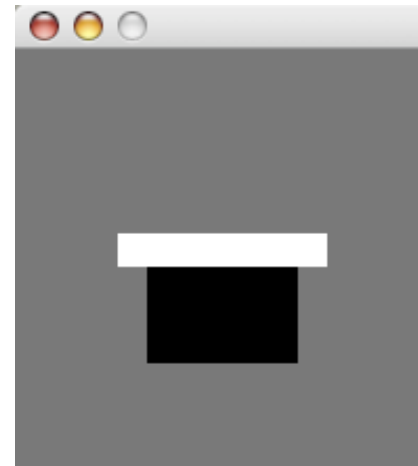
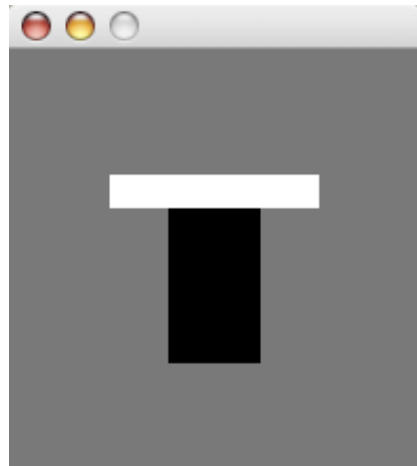


## « Spring » : exemple simple dans les démos Processing :

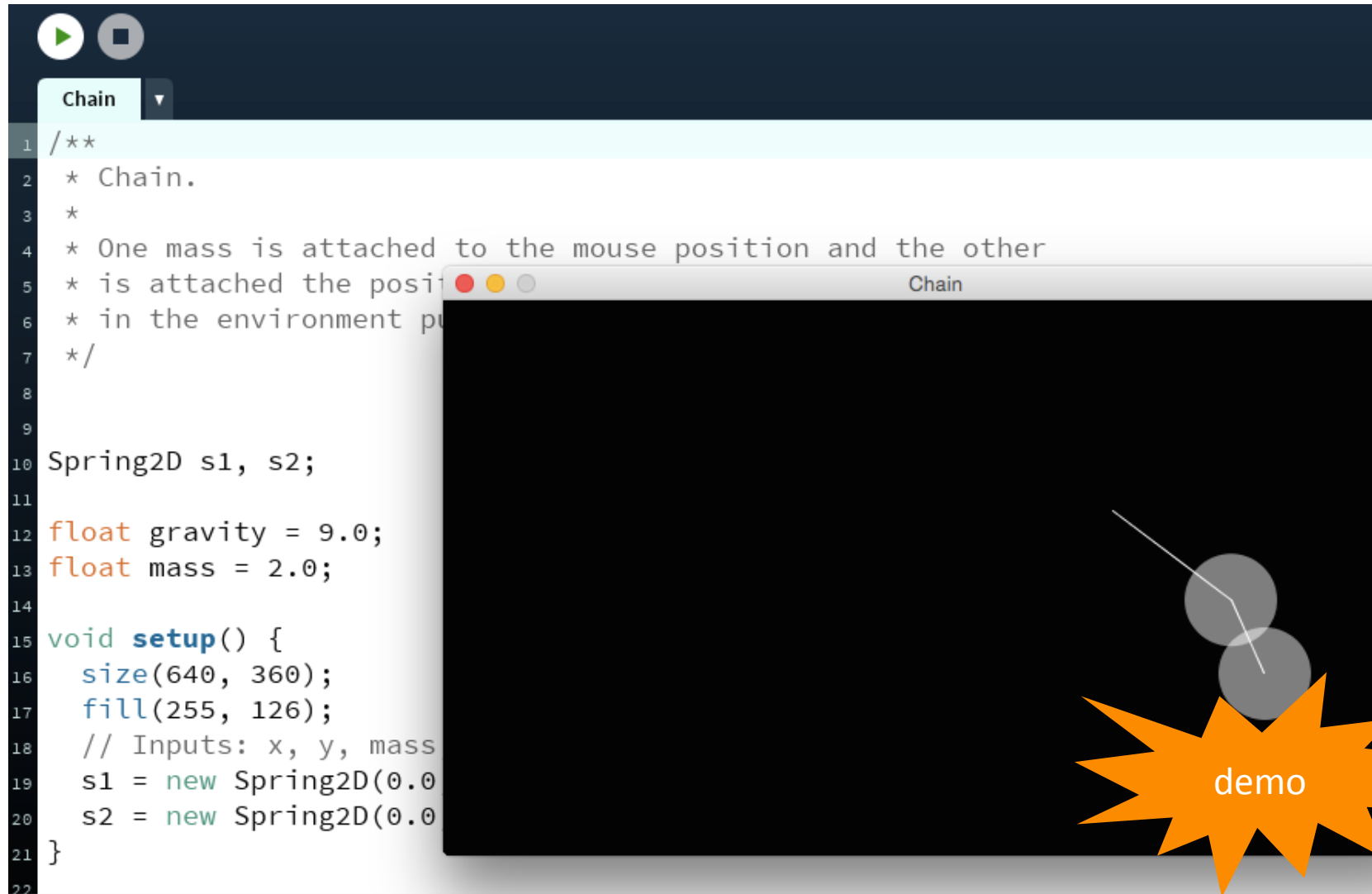
```
// Spring simulation constants
float M = 0.8; // Mass
float K = 0.2; // Spring constant
float D = 0.92; // Damping
float R = 60; // Rest position

// Spring simulation variables
float ps = 60.0; // Position
float vs = 0.0; // Velocity
float as = 0; // Acceleration
float f = 0; // Force
```

```
void updateSpring()
{
  // Update the spring position
  if(!move) {
    f = -K * (ps - R); // f=-ky
    as = f / M; // Set the acceleration, f=ma == a=f/m
    vs = D * (vs + as); // Set the velocity
    ps = ps + vs; // Updated position
  }
  if(abs(vs) < 0.1) {
    vs = 0.0;
  }
}
```



## Autre exemple : « chain »

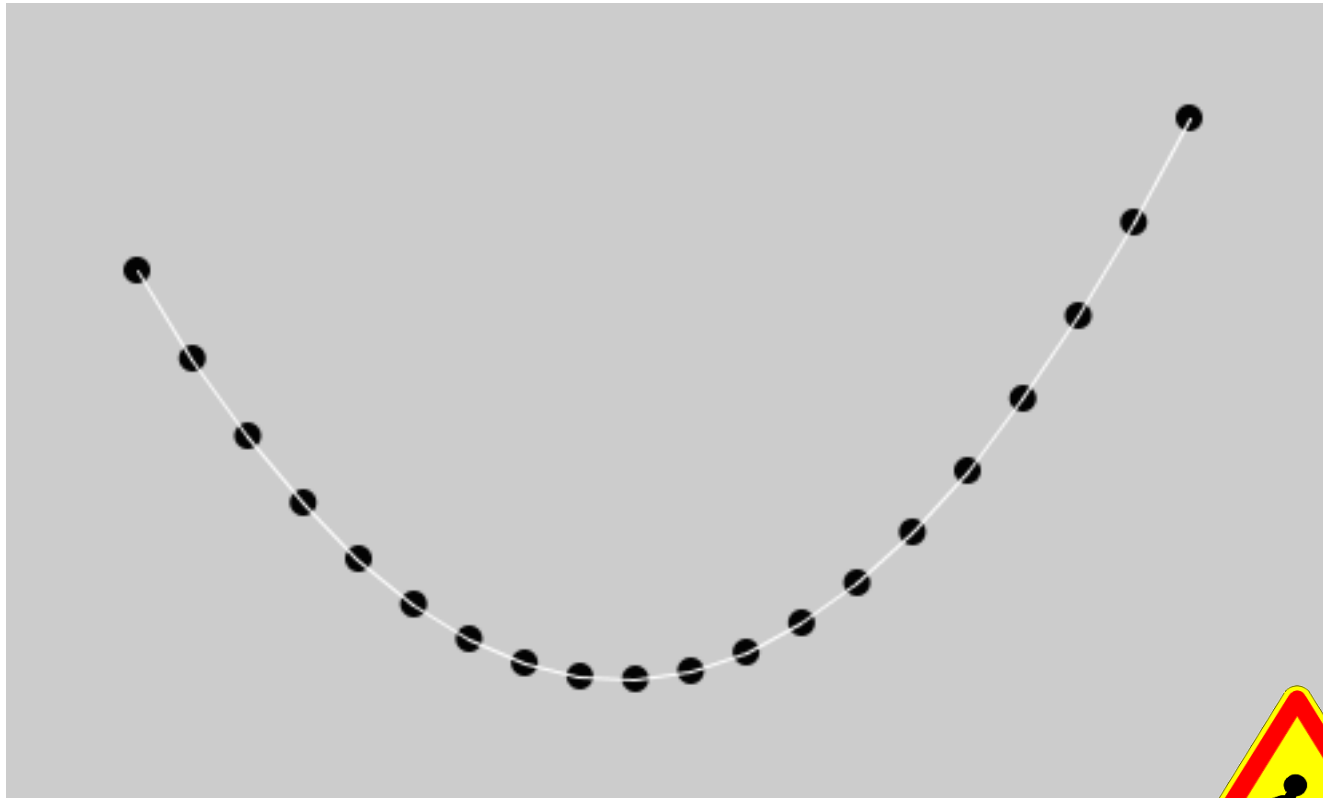


The image shows a code editor window on the left and a P5.js window on the right. The code editor displays the following code:

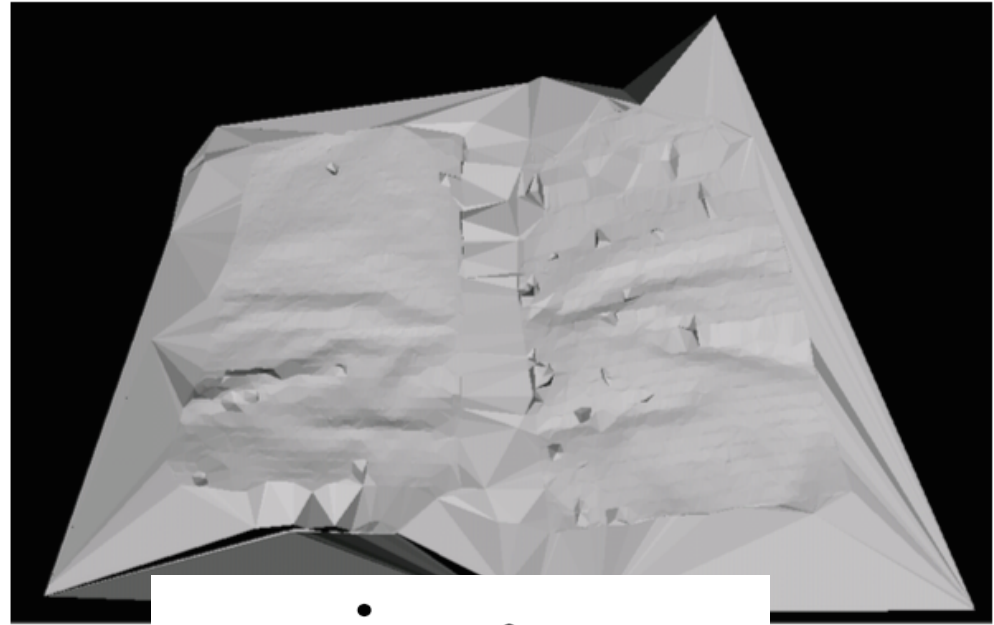
```
1 /**
2  * Chain.
3  *
4  * One mass is attached to the mouse position and the other
5  * is attached the position
6  * in the environment position
7  */
8
9
10 Spring2D s1, s2;
11
12 float gravity = 9.0;
13 float mass = 2.0;
14
15 void setup() {
16   size(640, 360);
17   fill(255, 126);
18   // Inputs: x, y, mass
19   s1 = new Spring2D(0.0, 0.0, mass);
20   s2 = new Spring2D(0.0, 0.0, mass);
21 }
22
```

The P5.js window, titled "Chain", shows a simulation of a chain. It features two gray circular masses connected by a thin white line. The masses are positioned in the lower right area of the window. A bright orange starburst graphic with the word "demo" is overlaid on the bottom right of the P5.js window.

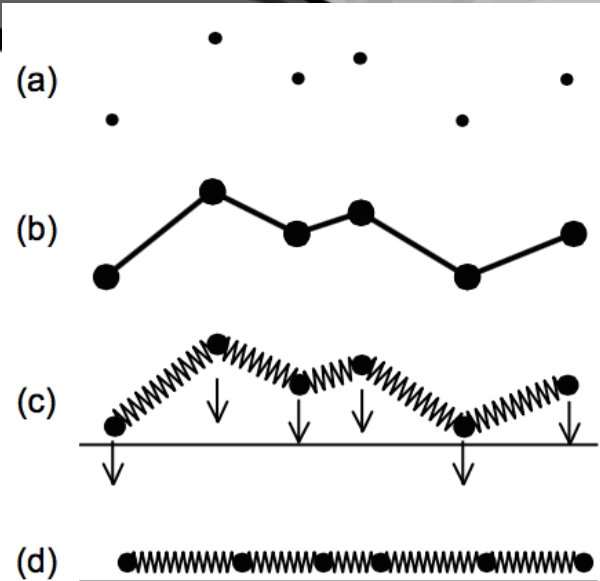
## Application à la simulation d'une chaînette

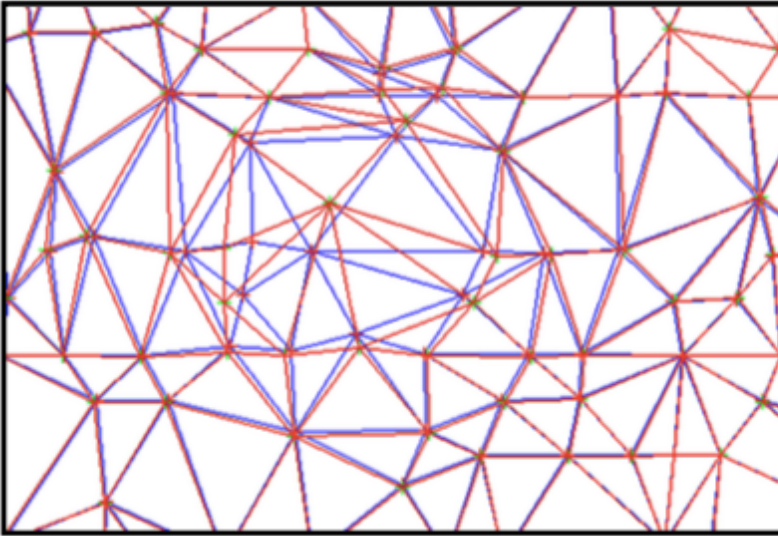
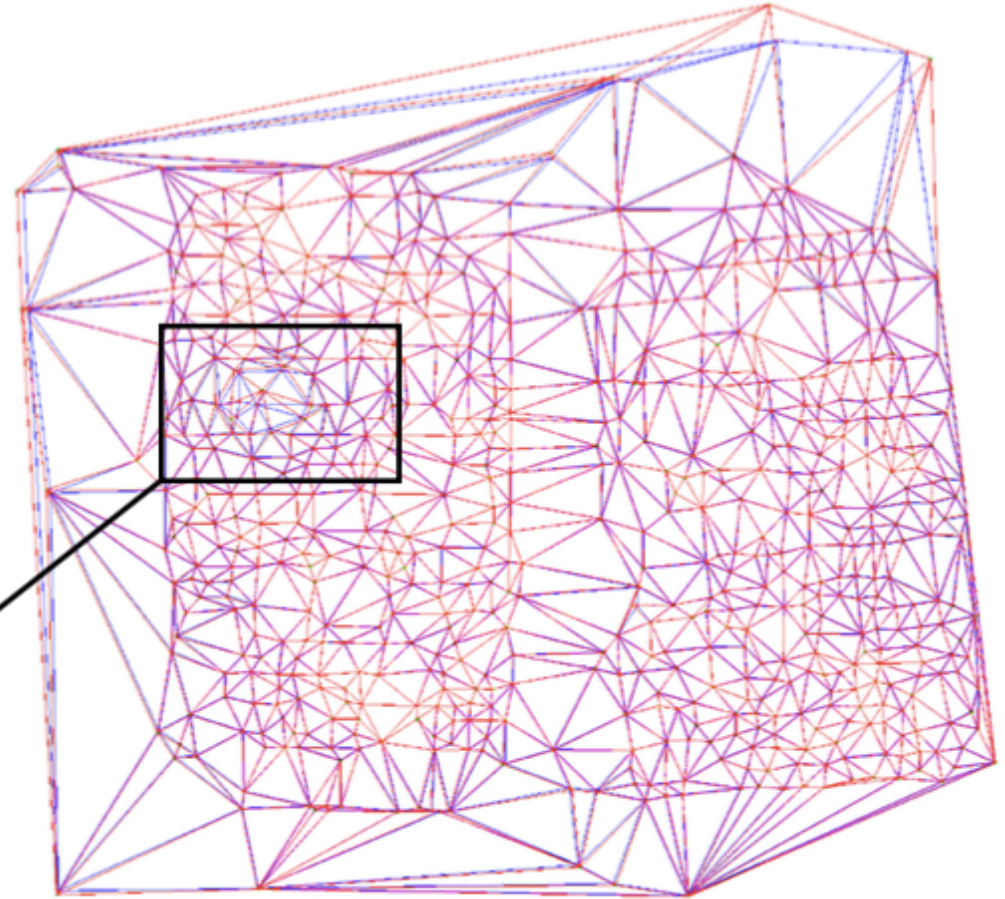
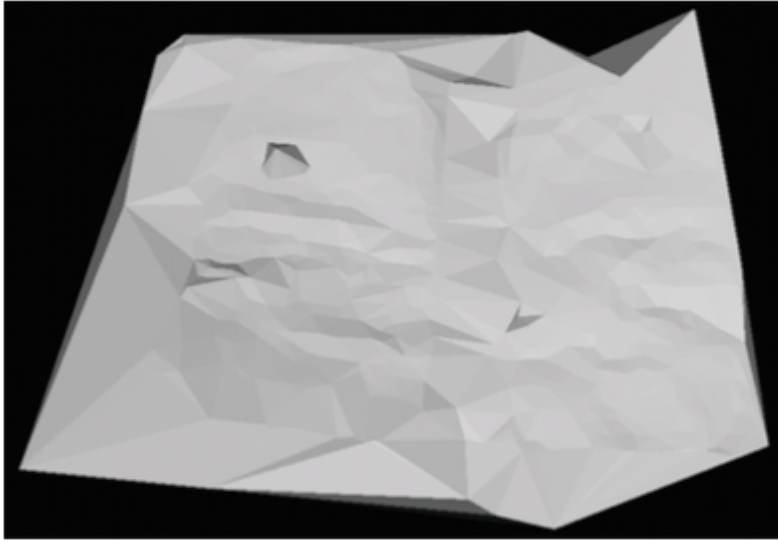


# Application aux étoffes, papier ...



J.F. Haas, P. Cubaud CIFED'04





(a) La surface 3D.

(b) Vue de la triangulation initiale (bleu) et de la triangulation après mise à plat (rouge). Elles se quasi-superposent, sauf dans les régions à fort relief : bords, point singulier.

(c) Agrandissement de la région du point singulier.  
Triangulation de 664 points, mise à plat réalisée en 40 boucles



# Nombreuses autres méthodes : voir Wikipedia

## Soft-body dynamics

From Wikipedia, the free encyclopedia  
(Redirected from [Soft body dynamics](#))

**Soft-body dynamics** is a field of [computer graphics](#) that focuses on visually realistic physical [simulations](#) of the motion and properties of [deformable](#) objects (or *soft bodies*).<sup>[1]</sup> The applications are mostly in video games and films. Unlike in simulation of [rigid bodies](#), the shape of soft bodies can change, meaning that the relative distance of two points on the object is not fixed. While the relative distances of points are not fixed, the body is expected to retain its shape to some degree (unlike a [fluid](#)). The scope of soft body dynamics is quite broad, including simulation of soft organic materials such as muscle, fat, hair and vegetation, as well as other deformable materials such as clothing and fabric. Generally, these methods only provide visually plausible emulations rather than accurate scientific/engineering simulations, though there is some crossover with scientific methods, particularly in the case of finite element simulations. Several [physics engines](#) currently provide software for soft-body simulation.<sup>[2][3][4][5][6][7]</sup>

### Contents [\[hide\]](#)

- 1 [Deformable solids](#)
  - 1.1 [Spring/mass models](#)
  - 1.2 [Finite element simulation](#)
  - 1.3 [Energy minimization methods](#)
  - 1.4 [Shape matching](#)
  - 1.5 [Rigid-body based deformation](#)
- 2 [Cloth simulation](#)
  - 2.1 [Force-based cloth](#)
  - 2.2 [Position-based dynamics](#)
- 3 [Collision detection for deformable objects](#)
- 4 [Other applications](#)
- 5 [Software supporting soft body physics](#)
  - 5.1 [Simulation engines](#)

